

# 同変 Schubert 計算における組合せ論

京都大学大学院理学研究科数学・数理解析専攻

学籍番号 0530-35-6268

赤松 輝海

## はじめに

はじめに

## 目次

1	同変コホモロジー	3
1.1	Borel 構成 . . . . .	3
1.2	$H_G^*(X)$ の代数的構造 . . . . .	4
1.3	Weil/Cartan モデル . . . . .	4
1.4	localization theorem . . . . .	4
2	GKM の定理	5
2.1	equivariantly formality . . . . .	5
2.2	GKM の定理 . . . . .	5
3	同変 Schubert 計算	6
3.1	Grassmann 多様体の同変コホモロジー . . . . .	6
3.2	GKM 条件による Schubert Class の特徴づけ . . . . .	7
3.3	Schubert puzzle による方法 . . . . .	7
3.4	edge labeled tableaux による方法 . . . . .	9
3.5	weight preserving bijection の構成 . . . . .	13

# 1 同変コホモロジー

## 1.1 Borel 構成

$G$  をコンパクト Lie 群とする.

**定理 1.1.1.** (Milnor [5]) ある主  $G$  束  $\pi: EG \rightarrow BG$  が存在して, 任意の CW 複体  $X$  上の主  $G$  束  $E \rightarrow X$  に対してある連続写像  $f: X \rightarrow BG$  があって  $E = f^*(EG)$  がなりたつ. さらに  $EG$  は弱可縮であり,  $G$  は  $EG$  に自由に (右から) 作用する.

**例 1.1.2.**  $T = \mathbb{C}^*$  に対して  $S^\infty \rightarrow \mathbb{CP}^\infty$  は事実 1.1.1 の主  $G$  束である.

**定義 1.1.3.**  $G$  が  $X$  に左から作用しているとき,  $G$  の  $X \times EG$  への左作用を

$$g(x, e) := (gx, eg^{-1}) \quad \text{for } g \in G, x \in X, e \in EG$$

によって定める.  $X \times_G EG := (X \times EG)/G$  としこれを  $X$  の homotopy quotient という. このとき  $H_G^*(X) := H^*(X \times_G EG)$  を  $X$  の  $G$  同変コホモロジーという.

**例 1.1.4.** 1 点集合  $\text{pt}$  の  $G$  同変コホモロジーは

$$\text{pt} \times_G EG = (\text{pt} \times EG)/G \approx BG$$

より

$$H_G^*(\text{pt}) \simeq H^*(BG)$$

である. よって

$$H_{\mathbb{C}^*}^*(\text{pt}) \simeq H^*(\mathbb{CP}^\infty) \simeq \mathbb{Z}[y]$$

$X$  の  $G$  同変コホモロジーは主  $G$  束  $EG \rightarrow BG$  の取り方に拠らないことを示そう. 写像  $p: X \times EG \rightarrow X \times_G EG$  と  $p_X: X \times_G EG \rightarrow BG$  を

$$\begin{aligned} p(x, e) &:= [x, e] \\ p_X([x, e]) &:= \pi(e) \end{aligned}$$

によって定める.

**命題 1.1.5.**

- (i)  $p: X \times EG \rightarrow X \times_G EG$  は主  $G$  束である
- (ii)  $p_X: X \times_G EG \rightarrow BG$  は  $X$  をファイバーとするファイバー束である

*Proof.* (i)  $EG \rightarrow BG$  は主  $G$  束であるので,

□

連続写像  $f: X \rightarrow Y$  がホモトピー群の同型

$$f_*: \pi_q(X, x) \rightarrow \pi_q(Y, f(x)) \quad \text{for } x \in X, q > 0$$

を誘導するとき,  $f$  を弱ホモトピー同値という.

**補題 1.1.6.**  $E$  を弱可縮な  $G$  空間とし、 $P \rightarrow B$  を主  $G$  束とする。このとき  $(E \times P)/G \rightarrow B$  は弱ホモトピー同値である。

*Proof.* □

**定理 1.1.7.**  $M$  を  $G$  空間、 $E \rightarrow B, E' \rightarrow B'$  を主  $G$  束で  $E, E'$  はともに弱可縮であるとする。このとき弱ホモトピー同値  $E \times_G M \rightarrow E' \times_G M$  が存在する

*Proof.* □

[6] より、次が成り立つ

**事実 1.1.8.** 弱ホモトピー同値  $f: X \rightarrow Y$  は同型  $f^*: H^*(Y) \rightarrow H^*(X)$  を誘導する

定理 1.1.7 と事実 1.1.8 より、 $EG \rightarrow BG, EG' \rightarrow BG'$  が事実 1.1.1 の主  $G$  束であるとき、

$$H^*(X \times_G EG) \simeq H^*(X \times_G EG')$$

であることがわかる。

## 1.2 $H_G^*(X)$ の代数的構造

$X, Y$  を  $G$  空間、 $f: X \rightarrow Y$  を  $G$  写像とする。 $f_G: X \times_G EG \rightarrow Y \times_G EG$  を

$$f_G([x, e]) = [f(x), e]$$

によって定めると  $f_G$  は well-defined な連続写像となる。したがって  $f_G$  は同変コホモロジーの準同型

$$f_G^*: H_G^*(Y) \rightarrow H_G^*(X)$$

を誘導する。通常のコホモロジーの関手性と同様、同変コホモロジーも関手性をもつ

**命題 1.2.1.**

- (i)  $(\text{id}_X)_G^* = \text{id}_{H_G^*(X)}$
- (ii)  $f: X \rightarrow Y, g: Y \rightarrow Z$  に対して  $(g \circ f)_G^* = (f_G^*) \circ (g_G^*)$

任意の  $G$  空間  $X$  に対して、1 点集合  $\text{pt}$  への自明な  $G$  写像は、準同型  $H^*(BG) \simeq H_G^*(\text{pt}) \rightarrow H_G^*(X)$  を誘導するから、 $H_G^*(X)$  は  $H^*(BG)$  代数の構造を持つ。

## 1.3 Weil/Cartan モデル

## 1.4 localization theorem

## 2 GKM の定理

### 2.1 equivariantly formality

### 2.2 GKM の定理

### 3 同変 Schubert 計算

#### 3.1 Grassmann 多様体の同変コホモロジー

$\text{Gr}_k(\mathbb{C}^n) = \{ V \subset \mathbb{C}^n \mid \dim V = k \}$  を Grassmann 多様体という.  $T = \mathbb{C}^n$  とするとき,  $T$  は  $\mathbb{C}^n$  に

$$(t_1, \dots, t_n) \cdot (x_1, \dots, x_n) = (t_1 x_1, \dots, t_n x_n)$$

によって左から作用する. この作用は自然に  $\text{Gr}_k(\mathbb{C}^n)$  への作用を誘導し,  $\text{Gr}_k(\mathbb{C}^n)$  は  $T$  空間となる.  $\text{Gr}_k(\mathbb{C}^n)$  の  $T$  同変コホモロジーの構造は組み合わせ的に決定することができる.  $\binom{n}{k}$  を 0 と 1 からなる  $n$  文字の文字列のうち, 1 が  $k$  個使われている文字列の集合とする.  $\lambda = \lambda_1 \cdots \lambda_n \in \binom{n}{k}$  に対して置換  $\sigma \in \mathfrak{S}_n$  の  $\binom{n}{k}$  への作用を  $\sigma\lambda = \lambda_{\sigma^{-1}(1)} \cdots \lambda_{\sigma^{-1}(n)}$  で定める.  $\lambda = \lambda_1 \cdots \lambda_n \in \binom{n}{k}$  に対して,

$$\Omega_\lambda^\circ = \{ V \in \text{Gr}_k(\mathbb{C}^n) \mid \dim(V \cap F_i) = \dim(\mathbb{C}^\lambda \cap F_i), \quad \forall i \in \{1, \dots, n\} \}$$

を Schubert cell という. ここで,  $\mathbb{C}^\lambda = \langle \lambda_1 e_1, \dots, \lambda_n e_n \rangle$ ,  $F_i = \langle e_1, \dots, e_i \rangle$  である.

**命題 3.1.1.**  $\text{inv}(\lambda) = \{ (i, j) \mid \lambda_i = 1, \lambda_j = 0, i < j \}$  とすると  $\Omega_\lambda^\circ$  は  $\mathbb{C}^{\binom{n}{k} - |\text{inv}(\lambda)|}$  に同相であり

$$\text{Gr}_k(\mathbb{C}^n) = \bigsqcup_{\lambda \in \binom{n}{k}} \Omega_\lambda^\circ$$

となる. またこれによって  $\text{Gr}_k(\mathbb{C}^n)$  は CW-複体の構造をもつ.

*Proof.*  $M(k, n)$  をランク  $k$  の  $k \times n$  複素行列全体のなす集合とする.  $\text{GL}_k(\mathbb{C})$  は自然に  $M(k, n)$  に左作用するが  $\text{Gr}_k(\mathbb{C}^n)$  は自然に  $M(k, n)/\text{GL}_k(\mathbb{C})$  と同一視される.  $\lambda$  を左から読んで  $1 \leq i_1 < \dots < i_k \leq n$  番目に 1 が現れるとする. このとき  $\Omega_\lambda^\circ$  は

$$\left( \begin{array}{cccccccccccccccc} & & & \overbrace{1}^{\text{\scriptsize } i_1\text{-th column}} & & & \overbrace{0}^{\text{\scriptsize } i_2\text{-th column}} & & & & & & \overbrace{0}^{\text{\scriptsize } i_k\text{-th column}} & & & \\ * & \cdots & * & 0 & \cdots & 0 & 0 & \cdots & 0 & & 0 & \cdots & 0 & 0 & \cdots & 0 \\ * & \cdots & * & 0 & * & \cdots & * & 1 & 0 & \cdots & 0 & \cdots & \vdots & \vdots & \ddots & \vdots \\ \vdots & \ddots & \vdots & \vdots & \vdots & \ddots & \vdots & \vdots & \vdots & \ddots & \vdots & & 0 & \cdots & 0 & 0 \\ * & \cdots & * & 0 & * & \cdots & * & 0 & * & \cdots & * & & * & \cdots & * & 1 \end{array} \right)$$

この形の行列で代表される  $M(k, n)/\text{GL}_k(\mathbb{C})$  の点の集合と同一視できる. ここで  $*$  は任意の複素数である.

次に □

したがって  $H^*(\text{Gr}_k(\mathbb{C}))$  は  $\overline{\Omega}_\lambda^\circ$  の定めるホモロジー類の Poincare 双対  $S_\lambda$  たちで  $\mathbb{Z}$  上生成される<sup>\*1</sup>.  $\text{Gr}_k(\mathbb{C}^n)$  は equivariantly formal であるから  $H_T^*(\text{Gr}_k(\mathbb{C}^n))$  は  $H_T^*(\text{pt}) = \mathbb{Z}[y_1, \dots, y_n]$  上  $S_\lambda$  たちで生成される.<sup>\*2</sup>  $S_\lambda$  を Schubert class という.

2 つの Schubert class の積  $S_\lambda S_\mu$  を  $\{S_\nu\}_{\nu \in \binom{n}{k}}$  の  $\mathbb{Z}[y_1, \dots, y_n]$  係数の線形結合で

$$S_\lambda S_\mu = \sum_{\nu \in \binom{n}{k}} C_{\lambda\mu}^\nu S_\nu$$

このように表したとき, この係数  $C_{\lambda\mu}^\nu$  を計算する組み合わせ的手法を紹介することが本論文の目的である.

<sup>\*1</sup> CW 複体の構造について言及

<sup>\*2</sup> equivariant formality ではカノニカルな同型ではない. ポレル構成の極限として  $S_\lambda$  を定義したほうが自然

### 3.2 GKM 条件による Schubert Class の特徴づけ

$\text{Gr}_k(\mathbb{C}^n)$  の  $T$  作用における固定点は  $\{\mathbb{C}^\lambda\}_{\lambda \in \binom{n}{k}}$  であるから, [GKM] より  $H_T^*(\text{Gr}_k(\mathbb{C}^n))$  は  $\bigoplus_{\lambda \in \binom{n}{k}} H_T^*(\text{pt})$  の部分代数である. GKM の定理を適用するために  $\text{Gr}_k(\mathbb{C}^n)$  の  $T$  不変な  $\mathbb{CP}^1$  を計算する.

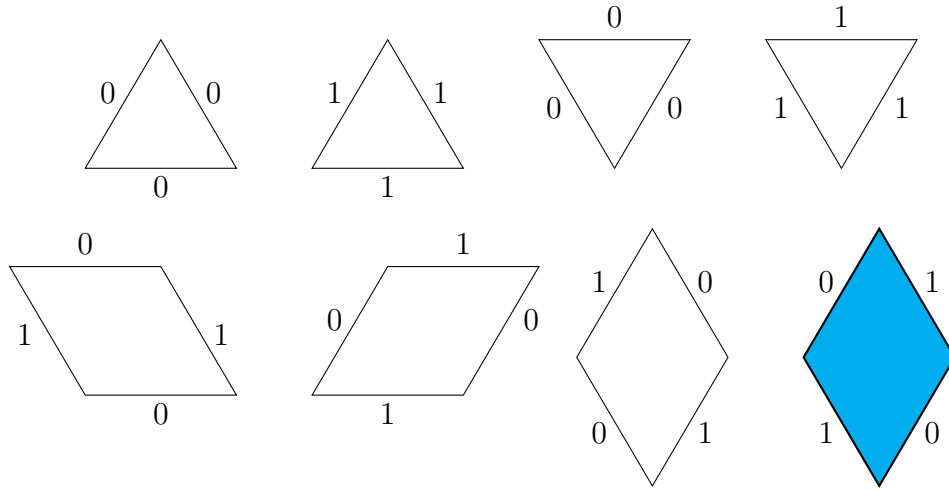
**命題 3.2.1.**  $\lambda, \mu \in \binom{n}{k}$  に対して  $\mathbb{C}^\lambda$  と  $\mathbb{C}^\mu$  を結ぶ  $T$  不変な  $\mathbb{CP}^1$  が存在するための必要十分条件は, ある  $(i, j) \in \text{inv}(\lambda)$  に対して  $\mu = (i, j)\lambda$  となっていることである.


*Proof.*

□

### 3.3 Schubert puzzle による方法

**定義 3.3.1.** 以下の 8 種類のラベル付きの図形を puzzle piece と呼ぶ.



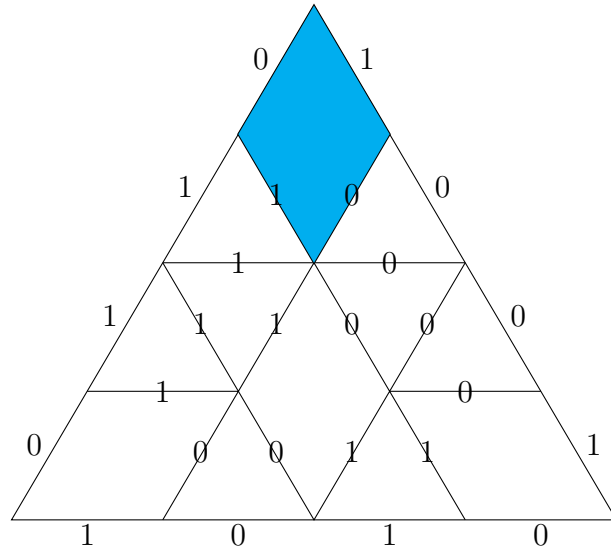
ただし, puzzle piece のうち三角形のものは 1 辺の長さが 1 の正三角形であり, 平行四辺形のものは 1 辺の長さが 1 で鋭角は 60 度であるとする. また puzzle piece のうち  を equivariant piece という.

**定義 3.3.2.** いくつかの puzzle piece を (同一種の piece は何個用いてもよい) 同じラベルを持つ辺に沿って貼り合わせ, 一つの大きな正三角形を作ったものを puzzle と呼ぶ. puzzle  $P$  を上向きの正三角形となるように見たとき,  $P$  の左上の辺上に存在するラベルたちを下から上に読んで得られる文字列を  $\lambda$ ,  $P$  の右上の辺上に存在するラベルたちを上から下に読んで得られる文字列を  $\mu$ , 下の辺上に存在するラベルたちを左から右に読んで得られる文字列を  $\nu$  とする. このとき

$$\partial P = \Delta_{\lambda\mu}^\nu$$

と書く.

**例 3.3.3.**  $\partial P = \Delta_{0110,1001}^{1010}$  をみたす puzzle は

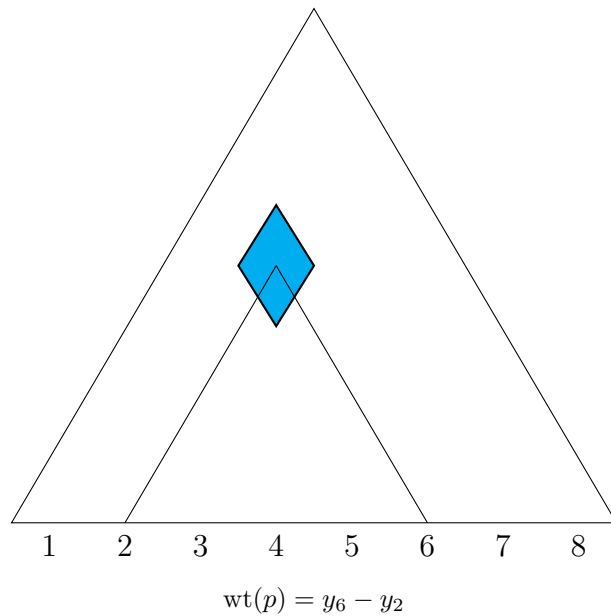


ただ一つである.

**定義 3.3.4.** 1 辺の長さが  $n$  の puzzle  $P$  に含まれる equivariant piece  $p$  に対して, そのウェイト  $\text{wt}(p) \in \mathbb{Z}[y_1, \dots, y_n]$  を次のように定義する.  $p$  の重心から,  $P$  の下辺に向かって  $P$  の左上の辺と平行な直線を引き, その交点が位置する puzzle piece の辺が左から数えて  $i$  番目にあるとする. 次に  $p$  の重心から,  $P$  の下辺に向かって  $P$  の右上の辺と平行な直線を引き, その交点が位置する puzzle piece の辺が左から数えて  $j$  番目にあるとする. このとき

$$\text{wt}(p) = y_j - y_i$$

とする.





**定義 3.3.5.** puzzle  $P$  に対してそのウェイト  $\text{wt}(P)$  を

$$\text{wt}(P) := \prod_{p: \text{equivariant piece}} \text{wt}(p)$$

とする.

**定理 3.3.6.** (Knutson-Tao [3])

$$C_{\lambda\mu}^\nu = \prod_{\substack{P: \text{puzzle} \\ \partial P = \Delta_{\lambda\mu}^\nu}} \text{wt}(P)$$

が成り立つ.

### 3.4 edge labeled tableaux による方法

**定義 3.4.1.**  $n$  の分割  $\lambda = (\lambda_1 \geq \dots \geq \lambda_k > 0)$  に対して, 1 行目に  $\lambda_1$  個の箱を, 2 行目に  $\lambda_2$  個の箱を, 順に  $k$  行目まで左寄せで書いた図を Young 図形という. 以降分割と Young 図形を同一視して同じ記号で表す.  $\lambda$  の各箱に, 各行について左から右に単調増大, 各列について上から下に単調増大となるように相異なる数字を書き入れたものを standard tableaux という.

**例 3.4.2.**  $\lambda = (4, 2, 2, 1)$  の Young 図形とその上の standard tableaux の例

				1	3	5	6
				2	4	8	
				7	9	10	
				11			

**定義 3.4.3.** 分割  $\lambda, \mu$  に対して,  $\lambda < \mu \Leftrightarrow \lambda_i < \mu_i \ (\forall i)$  によって順序を定める.  $\lambda < \mu$  を満たす Young 図形に対して,  $\mu$  の Young 図形から  $\lambda$  に相当する部分を取り除いた図形を歪 Young 図形といい  $\mu/\lambda$  で表す. 整数  $n > 0$  を固定する. 歪 Young 図形の各箱に 1 から  $n$  までの数字を書き入れ, 水平方向の各辺に  $\{1, \dots, n\}$  の部分集合 (空でもよい) を書き入れたものを, equivariant filling という. equivariant filling のうち, 次の条件を満たすものを equivariant standard tableaux という.

- 1 から  $n$  までの各数字が, いずれかの箱のラベルに現れるか, またはいずれかの辺のラベルの要素になっている. また 1 から  $n$  までの各数字がちょうど 1 回現れる.
- 各箱のラベルについて, 左隣の箱のラベルよりも大きい.
- 各箱のラベルについて, 上辺のラベルが空でないなら, その最大値よりも大きい. 空であるならば, すぐ上の箱のラベルより大きい.
- 各辺のラベルについて, そのすべての数字がすぐ上の箱に書かれたラベルよりも大きい.

形が  $\mu/\lambda$  で 1 から  $n$  までの数字が書かれた equivariant standard tableaux の全体の集合を  $\text{EqSYT}(\mu/\lambda, n)$  とする.

**例 3.4.4.**  $(4, 3, 3, 1)/(2, 2, 1)$  上の equivariant standard tableaux の例 (左図) と  $(4, 4, 2)/(3, 3, 1)$  上の equivariant standard tableaux の例 (右図)

		1	9
		2	
		3,5	
7	4	6	
8			

			4
			6
		3	
1	2	5,7	

**定義 3.4.5.**  $\lambda$  の箱  $x$  が  $T \in \text{EqSYT}(\mu/\lambda, n)$  の内隅であるとは,  $x$  のすぐ右とすぐ下の箱が  $\lambda$  の箱でないことをいう. また  $\mu/\lambda$  の箱  $x$  が外隅であるとは,  $x$  のすぐ右とすぐ下の箱が存在しないことをいう.  $T$  の内隅  $x$  に対して, 次の操作を考える:

- (i)  $x$  の下辺のラベル  $l$  が空でないなら,  $l$  の最小値を  $x$  のラベルに移す
- (ii)  $x$  の下辺のラベルが空であるとし,  $x$  のすぐ右の箱を  $y$ , すぐ下の箱を  $z$  とする.  $y$  と  $z$  のうち, ラベルの小さい方の箱を  $x$  と交換する (このとき辺のラベルは交換しない).

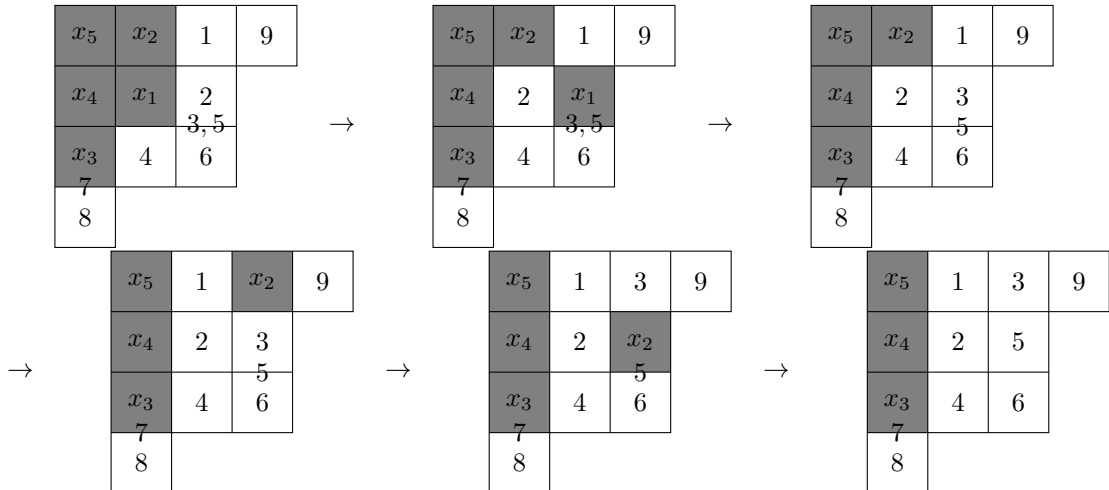
(i) の操作が行われる, もしくは  $x$  が外隅になるまで (i),(ii) を繰り返してできる tableaux を  $T$  の  $x$  による equivariant jeu de taquin といい,  $\text{EqJdt}_x(T)$  と書く.

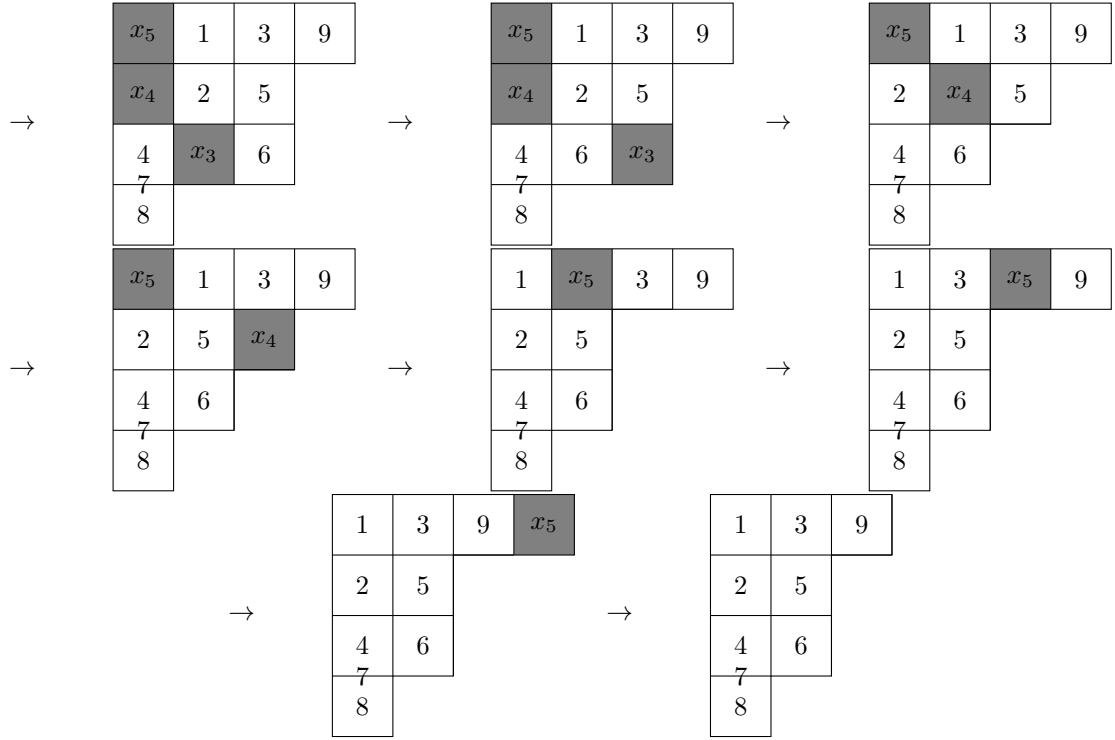
**定義 3.4.6.**  $\lambda$  の箱を各列に沿って下から上に, 右から左に数えて  $x_1, \dots, x_m$  とする.  $T \in \text{EqSYT}(\mu/\lambda, n)$  に対して,  $T$  の equivariant rectification を  $x_1$  から順に  $x_m$  まで equivariant jeu de taquin を行って得られる tableaux とする. すなわち

$$\text{EqRect}(T) := \text{EqJdt}_{x_m}(\text{EqJdt}_{x_{m-1}}(\dots(\text{EqJdt}_{x_1}(T))\dots))$$

を  $T$  の equivariant rectification という.

**例 3.4.7.** 例 3.4.4 左図の tableaux の equivariant rectification を図示する.





次に  $T \in \text{EdSYT}(\mu/\lambda, n)$  に対してそのウェイトを定義する.

**定義 3.4.8.** 正の整数  $m, k$  を固定する.  $\Lambda = \overbrace{(m, \dots, m)}^{k\text{-copies}}$  とする.  $\Lambda$  の箱  $x$  に対して

$$\beta(x) = y_{i+1} - y_i \in \mathbb{Z}[y_1, \dots, y_{m+k}]$$

とする. ここで  $i$  は  $\Lambda$  の右上の隅の箱から  $x$  までの Manhattan 距離である. 図は  $k = 3, m = 4$  における  $\Lambda$  の各箱の Manhattan 距離である.

4	3	2	1
5	4	3	2
6	5	4	3

**定義 3.4.9.**  $T \in \text{EqSYT}(\mu/\lambda, n)$ ,  $(\mu \leq \Lambda = \overbrace{(m, \dots, m)}^{k\text{-copies}})$  を固定し,  $l$  を  $T$  の辺のラベルに含まれる要素とする.  $\text{factor}(l) \in \mathbb{Z}[y_1, \dots, y_{m+k}]$  を次のように定義する.  $\text{EqRect}(T)$  を計算する過程において,

- (i)  $l$  が含まれる列にある  $\lambda$  の箱をすべて equivariant jeu de taquin したあとも,  $l$  が辺のラベルであるなら  $\text{factor}(l) = 0$  とする.
- (ii)  $l$  が含まれる列にある  $\lambda$  の箱をすべて equivariant jeu de taquin するとき,  $l$  が通った箱を下から順に  $x_1, \dots, x_s$  とする.  $x_s$  と同じ行で  $x_s$  の右側にある  $T$  の箱を左から順に  $y_1, \dots, y_t$  とする. このとき  $\text{factor}(l) = \beta(x_1) + \dots + \beta(x_s) + \beta(y_1) + \dots + \beta(y_t)$  とする.

**定義 3.4.10.**  $T \in \text{EqSYT}(\mu/\lambda, n)$  に対して

$$\text{wt}(T) = \prod_{l: \text{edge label}} \text{factor}(l)$$

とする.

例 3.4.11. 例 3.4.7 の計算より,

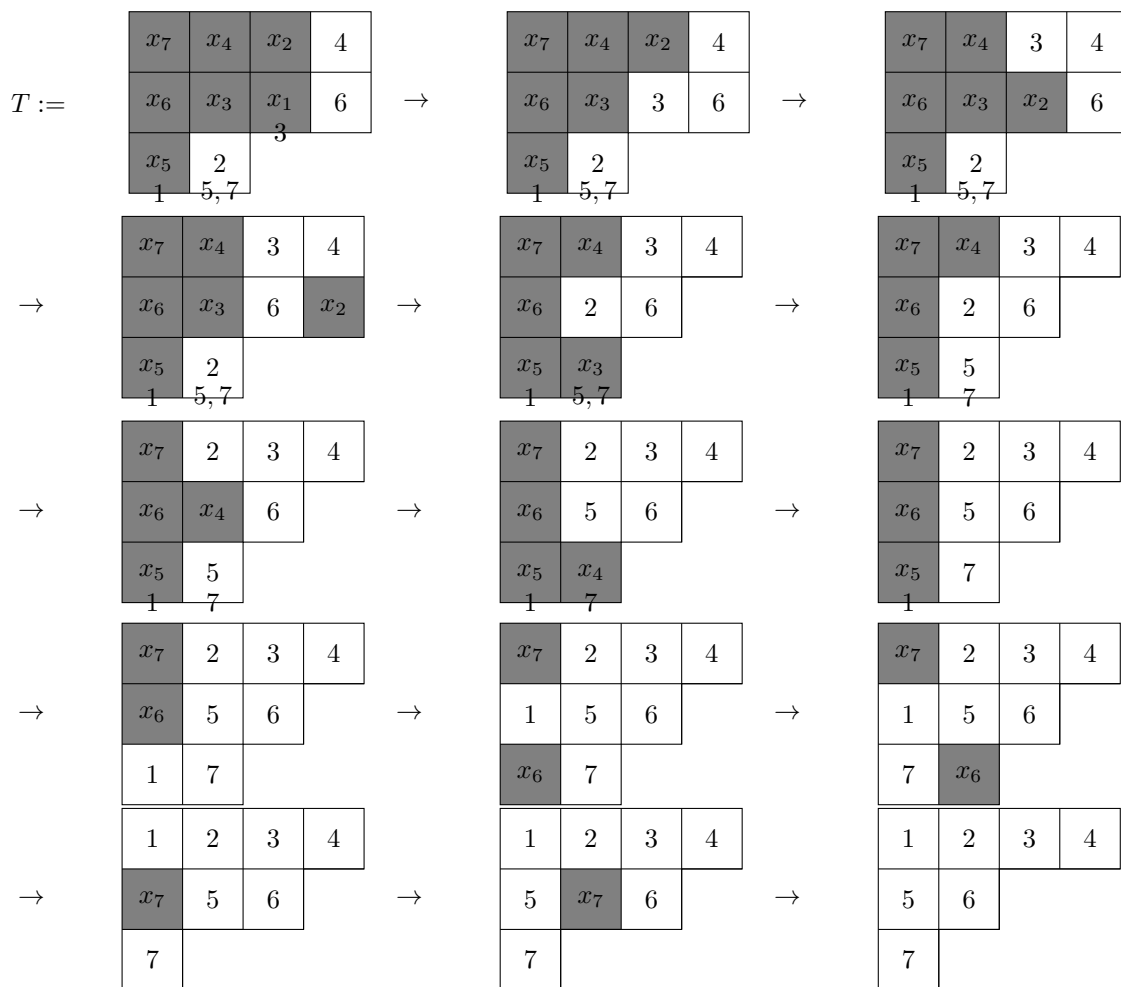
		1	9
		2	
		3, 5	
	4	6	
7			
8			

のウェイトは

$$\text{factor}(3) = \text{factor}(5) = \text{factor}(7) = 0$$

より 0 である.

例 3.4.12. 例 3.4.4 右図の tableaux の equivariant rectification を図示する.



$T \leq (4, 4, 4)$  とみなして  $\text{wt}(T)$  を計算すると、上記の計算過程より

$$\text{factor}(3) = y_4 - y_1$$

$$\text{factor}(5) = y_6 - y_3$$

$$\text{factor}(7) = y_6 - y_5$$

$$\text{factor}(1) = y_7 - y_1$$

であるから

$$\text{wt}(T) = (y_4 - y_1)(y_6 - y_3)(y_6 - y_5)(y_7 - y_1)$$

分割  $\mu$  に対して、1 行目の箱に左から順に  $1, 2, \dots, \mu_1$  を書き入れ、2 行目の箱に左から順に  $\mu_1 + 1, \mu_1 + 2, \dots, \mu_1 + \mu_2$  を書き入れ、と続けて得られる standard tableaux を  $T_\mu$  とする。

$$T_{(4,3,3,1)} = \begin{array}{|c|c|c|c|} \hline 1 & 2 & 3 & 4 \\ \hline 5 & 6 & 7 & \\ \hline 8 & 9 & 10 & \\ \hline 11 & & & \\ \hline \end{array}$$

正の整数  $m, k$  を固定する。分割  $\lambda \leq \Lambda = \overbrace{(m, \dots, m)}^{k\text{-copies}}$  に対して、

$$i_a = m - \lambda_a + a, \quad \text{for } a = 1, \dots, k$$

とする。  $l \in \binom{m+k}{k}$  を、左から数えて  $i_1, \dots, i_k$  番目に 1 が現れ、それ以外はすべて 0 であるような文字列とする。  $\lambda$  と  $l$  を対応させることで  $\binom{m+k}{k}$  と  $\lambda \leq \Lambda$  を満たす分割  $\lambda$  の集合を同一視する。

**定理 3.4.13.** (Thomas-Yong [4])

$$C_{\lambda, \mu}^\nu = \sum_{\substack{T \in \text{EqSYT}(\nu/\lambda, |\mu|) \\ \text{EqRect}(T) = T_\mu}} \text{wt}(T)$$

が成り立つ。

### 3.5 weight preserving bijection の構成

謝辭

## 参考文献

- [1] W. Fulton, Young Tableaux: With Applications to Representation Theory and Geometry. Cambridge: Cambridge University Press, (1996).
- [2] L. W. Tu and A. Arabia, Introductory Lectures on Equivariant Cohomology. Princeton University Press, (2020).
- [3] A. Knutson and T. C. Tao, Puzzles and (equivariant) cohomology of Grassmannians, *Duke Math. J.* **119** (2003), no. 2, 221–260
- [4] H. Thomas and A. T. F. Yong, Equivariant Schubert calculus and jeu de taquin, *Ann. Inst. Fourier (Grenoble)* **68** (2018), no. 1, 275–318
- [5] J. Milnor. Construction of Universal Bundles, II. *Annals of Mathematics* 63, no. 3 (1956): 430 – 36.
- [6] Hatcher
- [7] GKM